



Curso de posgrado

LA GEOMORFOLOGÍA Y CAMBIO CLIMATICO

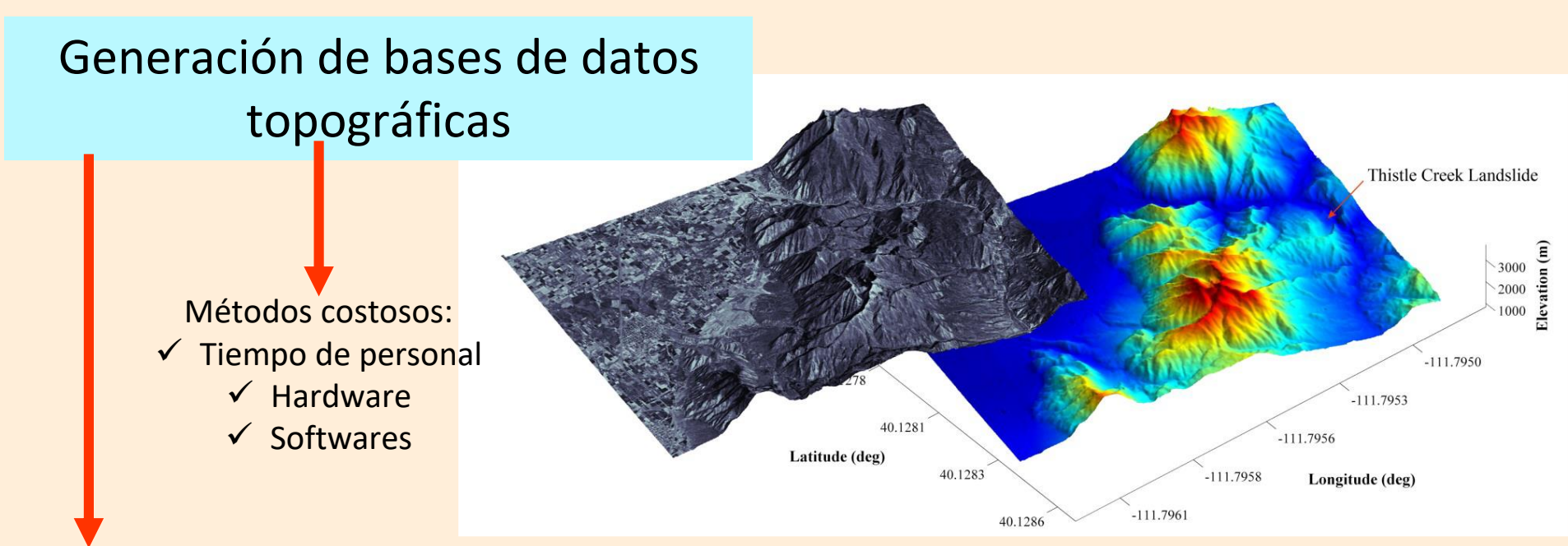
SEPTIEMBRE 2022

Docentes: Gabriella M. Boretto (CICTERRA-CONICET-UNC) Marcela A. Cioccale (FCEFyN-UNC)

Fotogramametría

La fotogrametría es el arte, la ciencia y tecnología de obtener información fiel acerca de objetos físicos y su entorno a través de procesos de grabación, medición e interpretación de imágenes fotográficas y patrones de energía electromagnética radiante (laser o radar).

- •Fotogrametría métrica. Trata de obtener información métrica bidimensional y tridimensional a partir de imágenes fotográficas. Estudia las tareas relacionadas con la medición de magnitudes puntuales, lineales y superficiales, así como la reconstrucción espacial de objetos y/o superficies. Tras la consolidación de la fotogrametría digital, la fotogrametría métrica se encarga de generar imágenes corregidas de distorsión y en proyección, aptas para múltiples usos.
- •Fotogrametría interpretativa. Trata de reconocer e identificar objetos y juzgar su significado a partir de un análisis sistemático y minucioso de las imágenes.





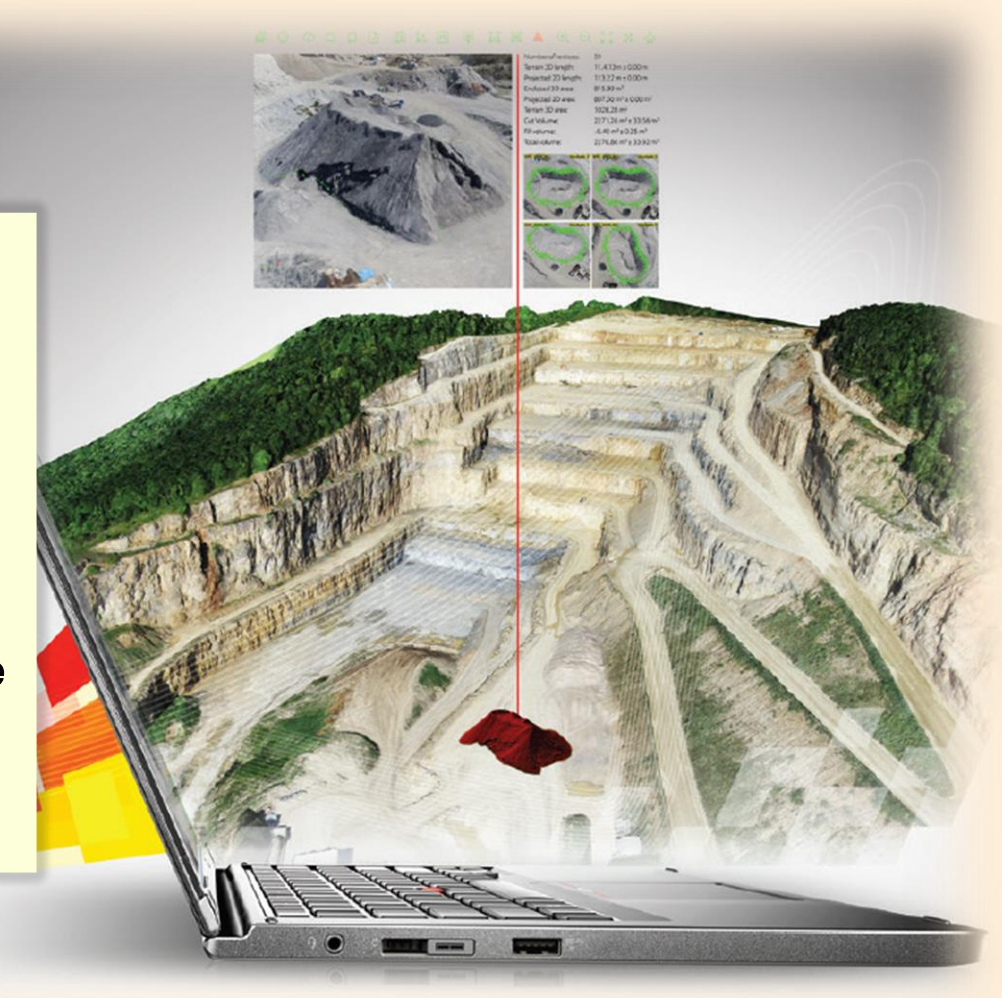
- Requiere poco entrenamiento
- ✓ Es económico:
- Cámara fotográfica
- Computadora
- Software

- ✓ Tiempo de procesamiento de las imágenes
- ✓ Presencia de vegetación y edificaciones

Equipo de investigación y flujo de trabajo	Extensión espacial típica (km)/resolución espacial típica (pt.m²)	Posible tasa de adquisición de datos (puntos por hora)	precisión	Ventajas	Pleitavino, 2016 Desventajas
TS	0,1-1,0/0,1-5,0	Cientos	<0,001	Bajo costo Exactitud	Campo visual requerido Baja productividad Exactitud decrece con la distancia a la base
dGPS	1,0-2,4/0,1-5,0	Miles	0,005	Alta exactitud Se han desarrollado una gran variedad de métodos para adaptarse a distintos requerimientos de medición No se requiere campo visual	Alto costo Algunos métodos tienen baja productividad
Fotogrametría	5,0-50,0/5,0-10,0	Decenas de miles	0,5	Alta productividad Una vez configurado, no requiere operador	Requiere 6 o más satélites Baja resolución Equipamientos deben ser dejados en posición por largos períodos de tiempo (riesgo de robo o daño) No funciona en niebla, neblina, etc.
ALS	5,0-100,0/0,2-10,0	Millones	0,2	Información continua puede ser capturada Alta productividad Puede ser usado durante la noche Permite levantar áreas de difícil acceso No afectada por la cobertura vegetal	Muy alto costo Resolución puede ser insuficiente para medir pequeños cambios Errores sistemáticos en algunas formas de relieve
TLS	0,01-5,0/100-10000	Millones	0,05	Alta exactitud	Incapaz de capturar todos los aspectos de las topografías complejas (dependiendo del equipo)
SfM	0,01-1,0/1-10000	Millones	0,01-0,2	Barato Rápido Método independiente de la escala espacial	¿Reproductibilidad? ¿Confiabilidad?

Ventajas

- Económico.
- Levantamiento fácil de realizar.
- Se adapta a varias plataformas.
- Produce nubes de puntos y mallas triangulares 3D.
- Cualquier escala espacial.
- Cualquier escala temporal (análisis multitemporales).
- Exactitudes y tasa de adquisición de datos comparable a ALS y TLS (Laser)
- No requiere supervisión continua.



Desventajas

- Dificultad para la adquisición y procesamiento de datos a través de escalas espaciales muy grandes.
- •La exactitud 3D de los datos dependen de algunos factores fuera de control del topógrafo.
- •Sólo produce datos en gabinete.
- •Softwares en etapa de desarrollo.
- •Grandes requerimientos de memoria RAM y de tiempos de ejecución computacional.

Factor **Textura** Contraste de color Condiciones de luz **Superficies** altamente reflectivas **Superficies** dinámicas

Ejemplo

Superficies sin textura o con un patrón de repetición definido puede generar problemas de reproductibilidad.

Un bajo contraste de color puede afectar

Influencia

negativamente en la generación de la nube de puntos 3D, debido a que se pueden generar confusiones en la correspondencia de puntos de interés. Para que las sombras de los objetos no



influyan en los resultados, es importante procurar que la adquisición de las imágenes se realice en un día nublado, o en su defecto si hay sol, que se tomen todas las imágenes en un lapso de tiempo corto de manera que las sombras no cambien de posición de una imagen a otra.



reflectivas, no pueden ser reconstruidas e introducen mucho error al modelo. Ej: agua. Superficies dinámicas que se mueven en el período de tiempo de adquisición de las imágenes tampoco se reconstruyen

Las superficies vidriosas, altamente



adecuadamente. Ej: agua, vegetación.

Los GCPs idealmente deben ser tomados
a partir de TS y dGPS para mejor
exactitud, pero hay maneras alternativas
de introducirlo, siempre con
conocimiento del grado de error.

Comparación entre fotogrametría tradicional y SfM

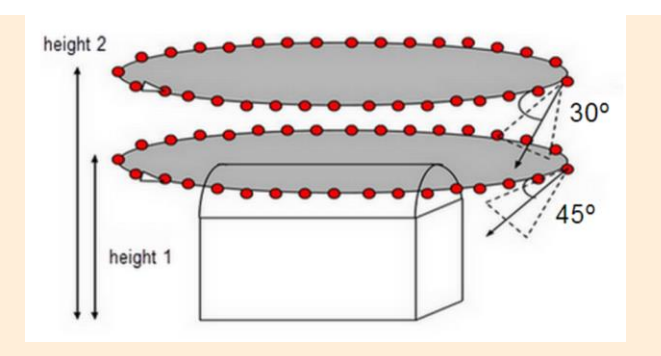
	Tradicional	SfM
Sensores	Cámara métrica	Múltiples sensores
Plataforma	Aérea	Múltiples plataformas
Flujo de trabajo	Manual, denso y lento	Automático o semi-automático (depende del software). Relativamente rápido.
Principio estereoscópico	Intersección de dos rayos (error alto)	Intersección de múltiples rayos (reducción del error)
Fotografías	Analógicas	Digitales
Instrumentos de trabajo	Restituidor analógico-Estereoscopio	Equipo de hardware-Sistema de software
Adquisición de imágenes	Perpendicular a la superficie	Depende de la escala y característica a fotografiar
Solapamiento longitudinal de imágenes	50%-60%	>60%-70%
Solapamiento transversal	10%-20%	10%-20%
Variación en el ángulo de toma	No, siempre perpendicular a la superficie	Necesaria para una mejor reconstrucción
Ubicación exacta de la posición de la cámara	Necesario	No se necesita
Calibración de la cámara	Necesario	Indiferente
Costo	Medio	Bajo

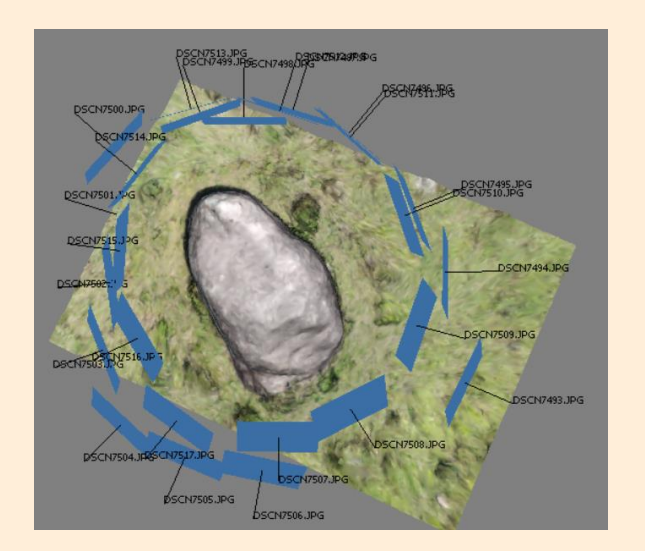
A Airborne LiDAR Structure from Motion onboard GPS and IMU motion of camera sequence of photographs constrain position and provides depth orientation of aircraft information scene structure refers to distance between scanner and both camera positions and orientations and ground return determined from delay between outgoing pulse the topography and reflected return laser pulse shadow zone features matched in multiple photographs laserpulse **B** Terrestrial LiDAR lines show track of scan across ground circles show actual ground return footprints

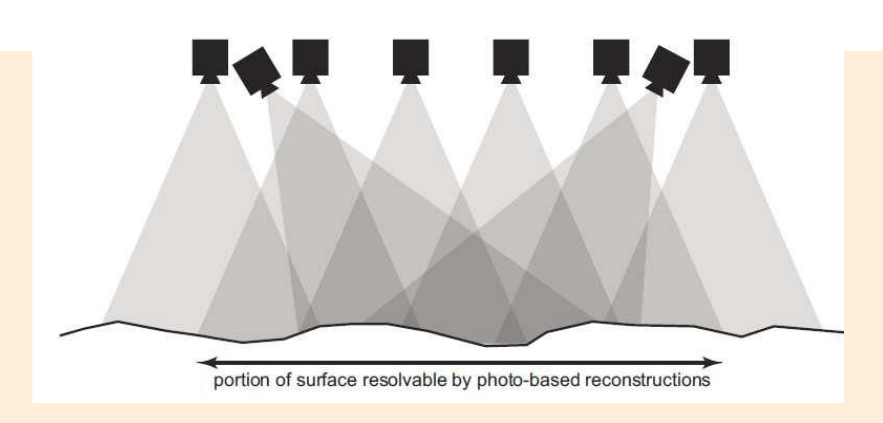


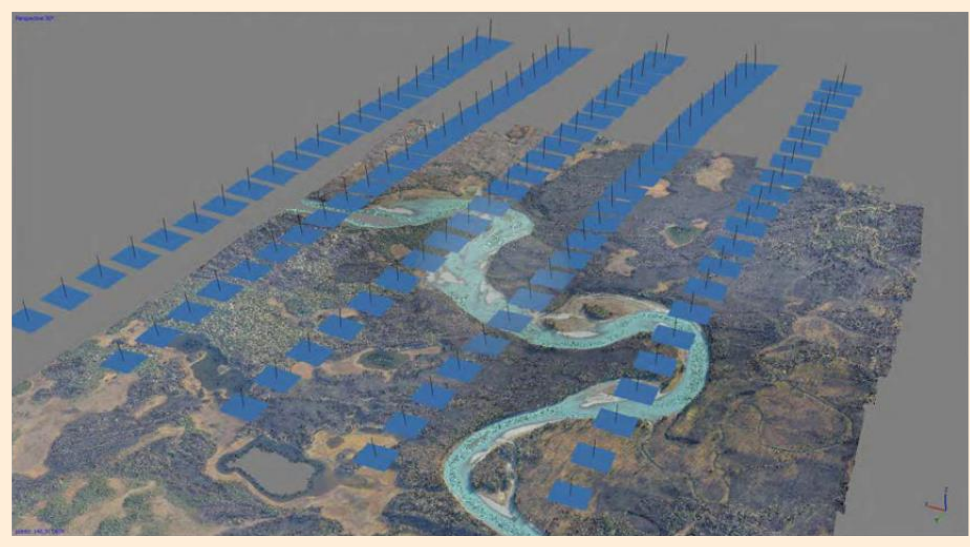


Potografías Analógicas Digitales	Comparación entre fotogrametría tradicional y SfM					
Flujo de trabajo Manual, denso y lento Principio estereoscópico Fotografías Instrumentos de trabajo Adquisición de imágenes Solapamiento longitudinal de imágenes Solapamiento transversal Variación en el ángulo de toma Ubicación de la cámara Calibración de la cámara Flujo de trabajo Manual, denso y lento Manual, denso y lento Manual, denso y lento Manual, denso y lento Adunimición de dos rayos (reducción de múltiples rayos (reducción del error) Analógicas Analógicas Restituidor analógico-Estereoscopio Perpendicular a la superficie Depende de la escala y característica a fotografiar Solapamiento transversal No, siempre perpendicular a la superficie Necesario No se necesita Indiferente		Tradicional	SfM			
Flujo de trabajo Manual, denso y lento Principio estereoscópico Fotografías Instrumentos de trabajo Adquisición de imágenes Solapamiento longitudinal de imágenes Solapamiento transversal Variación en el ángulo de toma Ubicación de la cámara Calibración de trabajo Manual, denso y lento Manual, denso y lento Automático o semiautomático (depende del software). Relativamente rápido. Intersección de múltiples rayos (reducción del error) Digitales Equipo de hardware-Sistema de software Depende de la escala y característica a fotografiar Solapamiento transversal No, siempre perpendicular a la superficie No, siempre perpendicular a la superficie Necesario No se necesita Indiferente	Sensores	Cámara métrica	Múltiples sensores			
Flujo de trabajo Manual, denso y lento Principio estereoscópico Fotografías Instrumentos de trabajo Adquisición de imágenes Solapamiento longitudinal de imágenes Solapamiento transversal Variación en el ángulo de toma Ubicación exacta de la posición de la cámara Calibración de trabajo Manual, denso y lento Manual, denso y lento automático (depende del software). Relativamente rápido. Intersección de múltiples rayos (reducción del error) Digitales Equipo de hardware-Sistema de software Perpendicular a la superficie Depende de la escala y característica a fotografiar Solow-70% Necesaria para una mejor reconstrucción No se necesita Necesario Indiferente	Plataforma	Aérea	Múltiples plataformas			
Fotografías Analógicas Digitales Instrumentos de trabajo Adquisición de imágenes Solapamiento longitudinal de imágenes Solapamiento transversal Variación en el ángulo de toma Ubicación exacta de la posición de la cámara Calibración de la cámara (error alto) Analógicas Restituidor analógico-Estereoscopio Estereoscopio Perpendicular a la superficie Solapamiento longitudinal de imágenes Solapamiento transversal 10%-20% Depende de la escala y característica a fotografiar >60%-70% 10%-20% Necesaria para una mejor reconstrucción No se necesita No se necesita Indiferente	Flujo de trabajo	Manual, denso y lento	automático (depende del software). Relativamente			
Instrumentos de trabajo Adquisición de imágenes Solapamiento longitudinal de imágenes Solapamiento transversal Variación en el ángulo de toma Ubicación exacta de la posición de la cámara Calibración de la cámara Restituidor analógico-Estereoscopio Sistema de software Depende de la escala y característica a fotografiar >60%-60% >60%-70% 10%-20% Necesaria para una mejor reconstrucción Necesario No se necesita Indiferente	Principio estereoscópico		Intersección de múltiples rayos (reducción del error)			
Adquisición de imágenes Solapamiento longitudinal de imágenes Solapamiento transversal Variación en el ángulo de toma Ubicación exacta de la posición de la cámara Calibración de la cámara Estereoscopio Sistema de software Depende de la escala y característica a fotografiar Solapamiento transversal 50%-60% >60%-70% 10%-20% Necesaria para una mejor reconstrucción Necesario No se necesita	Fotografías	Analógicas	Digitales			
Solapamiento longitudinal de imágenes Solapamiento transversal Variación en el ángulo de toma a la superficie reconstrucción Ubicación exacta de la posición de la cámara Calibración de la cámara Solapamiento transversal 10%-20% 10%-20% No, siempre perpendicular reconstrucción Necesario No se necesita Indiferente	Instrumentos de trabajo					
de imágenes Solapamiento transversal 10%-20% Variación en el ángulo de toma Ubicación exacta de la posición de la cámara Calibración de la cámara Calibración de la cámara Solm-60% 10%-20% No, siempre perpendicular reconstrucción Necesario Necesario No se necesita Indiferente	Adquisición de imágenes	-	Depende de la escala y característica a fotografiar			
Variación en el ángulo de tomaNo, siempre perpendicular a la superficieNecesaria para una mejor reconstrucciónUbicación exacta de la posición de la cámaraNecesarioNo se necesitaCalibración de la cámaraNecesarioIndiferente	•	50%-60%	>60%-70%			
toma a la superficie reconstrucción Ubicación exacta de la posición de la cámara Calibración de la cámara Necesario Indiferente	Solapamiento transversal	10%-20%	10%-20%			
posición de la cámara Necesario No se necesita Calibración de la cámara Necesario Indiferente	toma					
	posición de la cámara					
Casta Madia Dala	Calibración de la cámara	Necesario	Indiferente			
Costo Medio Bajo	Costo	Medio	Bajo			



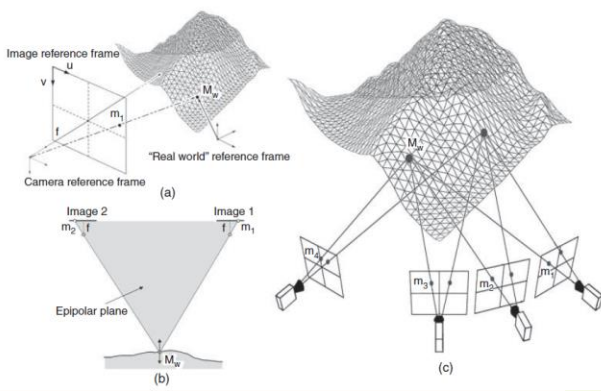


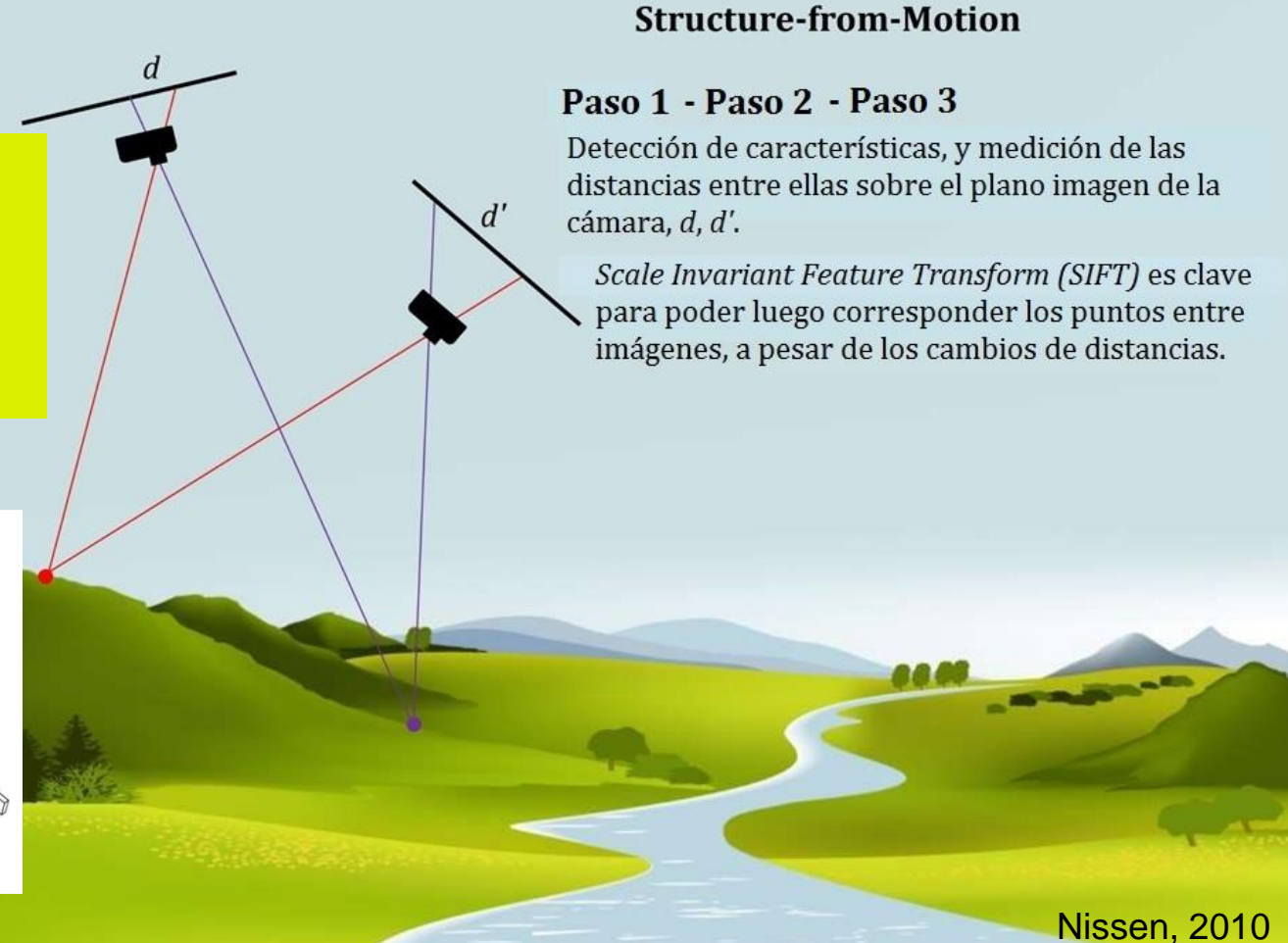




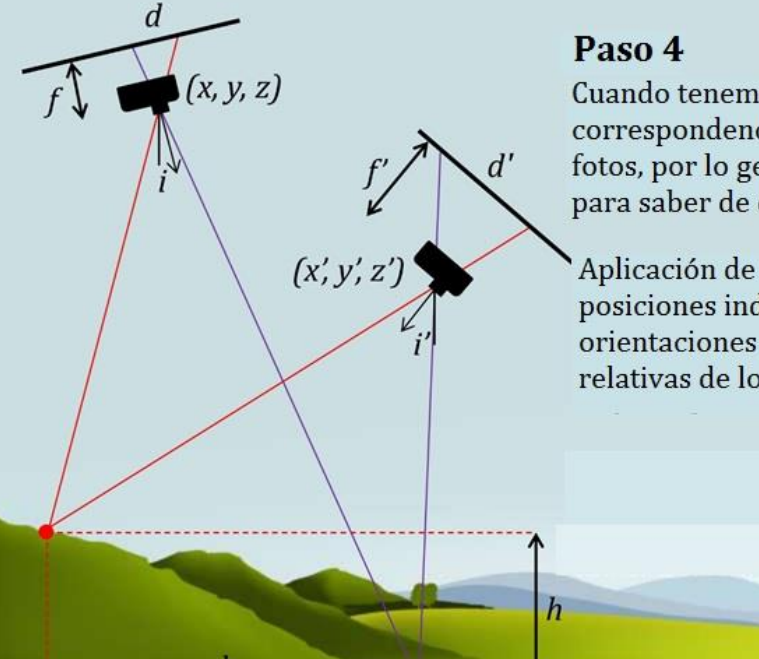
Detección de características

- Correspondencia de puntos de interés
- Identificación de correspondencias geométricamente consistente



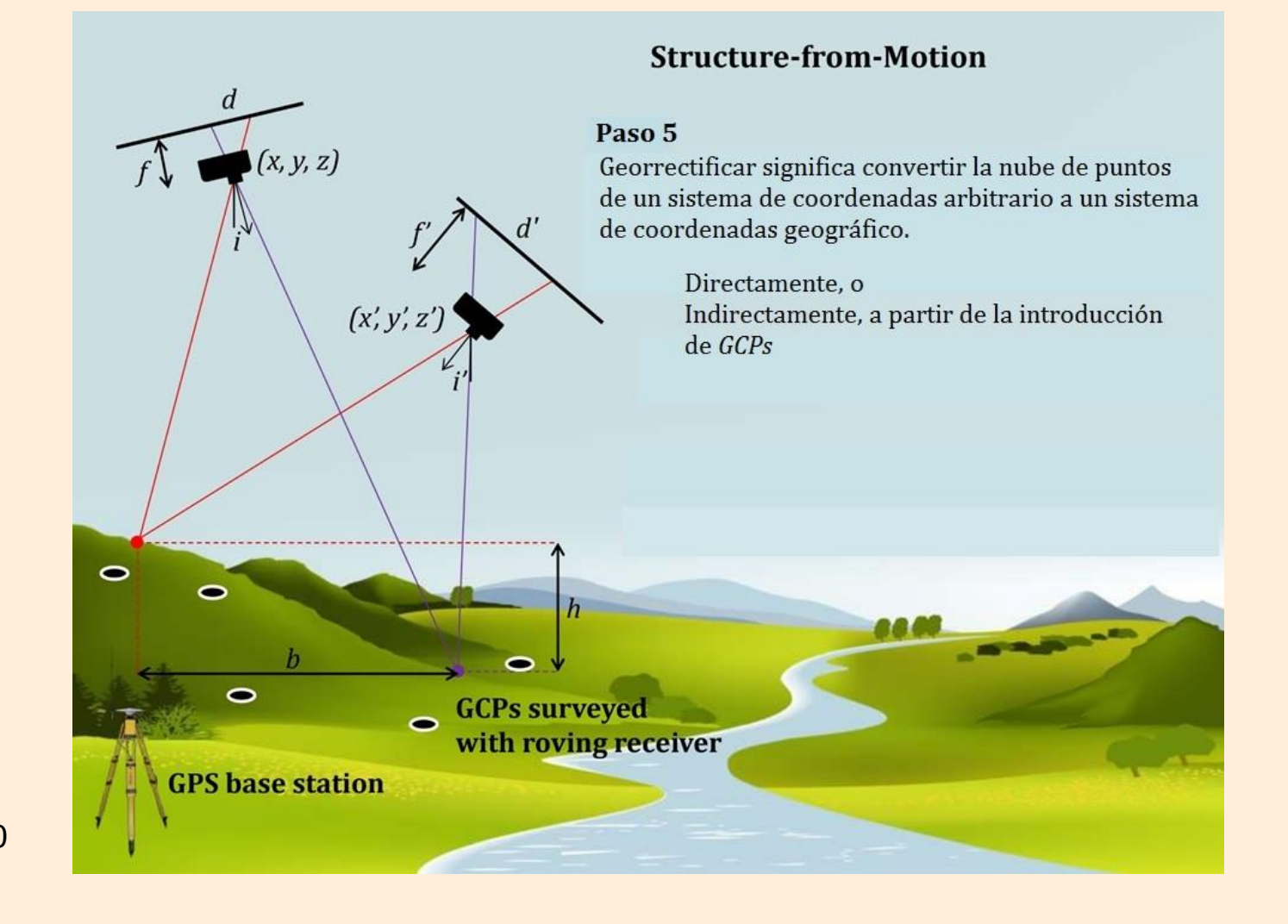


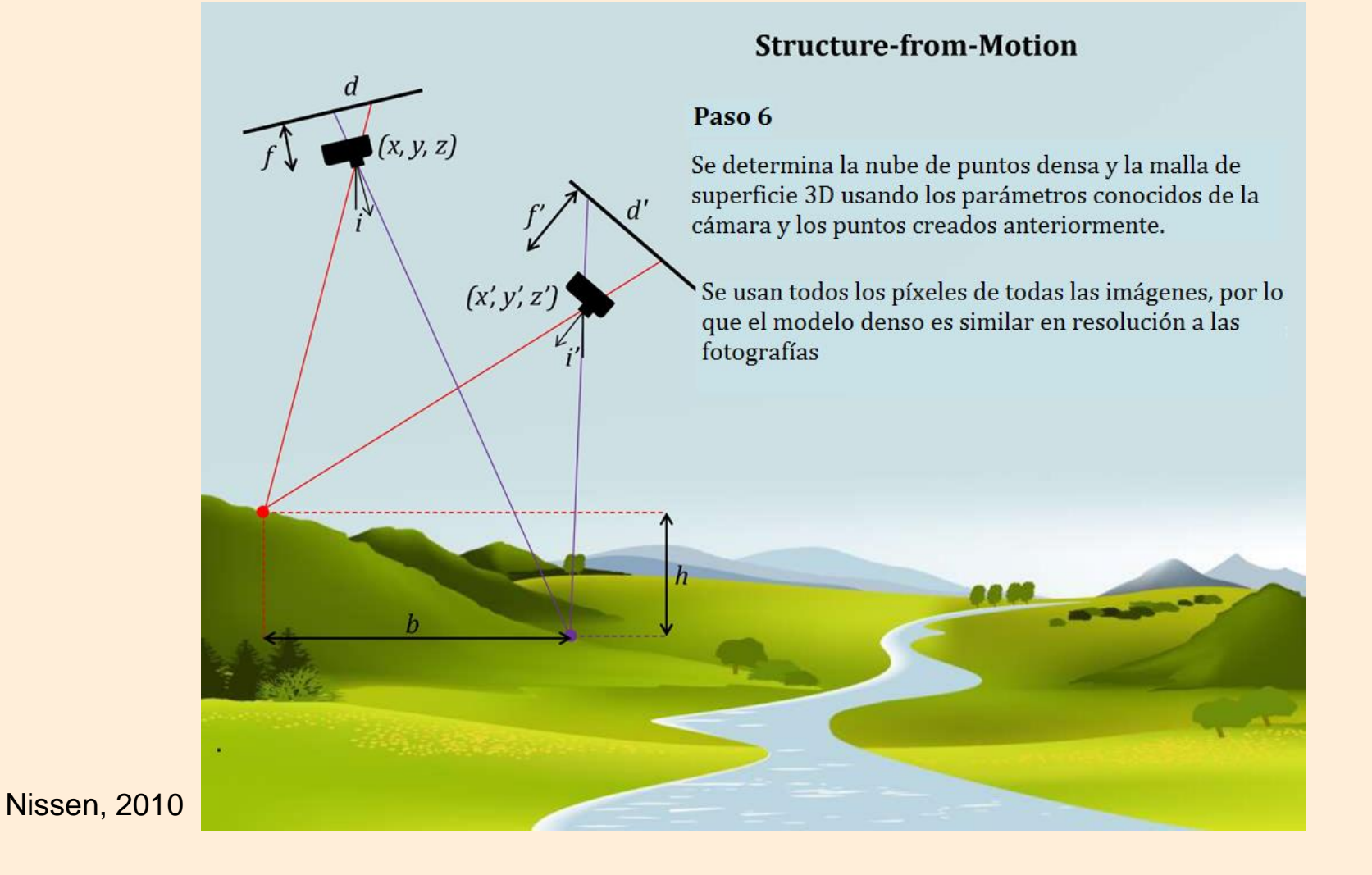




Cuando tenemos las ubicaciones de las correspondencias de puntos múltiples en dos o más fotos, por lo general sólo hay una solución matemática para saber de dónde las fotos fueron tomadas

'Aplicación de "Bundle Adjustment": calcula las posiciones individuales de la cámara (x, y, z), (x', y', z'), orientaciones i, i', distancias focales f, f', y posiciones relativas de los puntos b, h, de forma simultánea





Uso de fotos aéreas tradicionales

Resolution [dpi]	150	300	600	1200	2400	4800
Pixel size [µm]	169.3	84.7	42.3	21.2	10.6	5.29
Image size ca. [MB]	2	8	32	128	512	2018

pixel size in [μ m] = 25400 / resolution in [dpi] resolution in [dpi] = 25400 / pixel size in [μ m]

Photo scale

1: 5000	0.847	0.423	0.212	0.106	0.053	0.026
1: 7500	1.270	0.635	0.318	0.159	0.079	0.040
1:10000	1.693	0.847	0.423	0.212	0.106	0.053
1:12500	2.117	1.058	0.529	0.265	0.133	0.066
1:15000	2.540	1.270	0.635	0.317	0.159	0.079
1:17500	2.963	1.482	0.741	0.370	0.175	0.093
1:20000	3.386	1.693	0.846	0.424	0.212	0.106
1:25000	4.233	2.117	1.058	0.529	0.265	0.132
1:30000	5.080	2.540	1.270	0.634	0.318	0.159
1:40000	6.772	3.386	1.693	0.846	0.424	0.212
1:50000	8.466	4.234	2.116	1.059	0.530	0.265

Importancia del criterio y objetivo para digitalización de fotos aéreas

Pixel size in terrain units ca. [m]

Linder, 2016

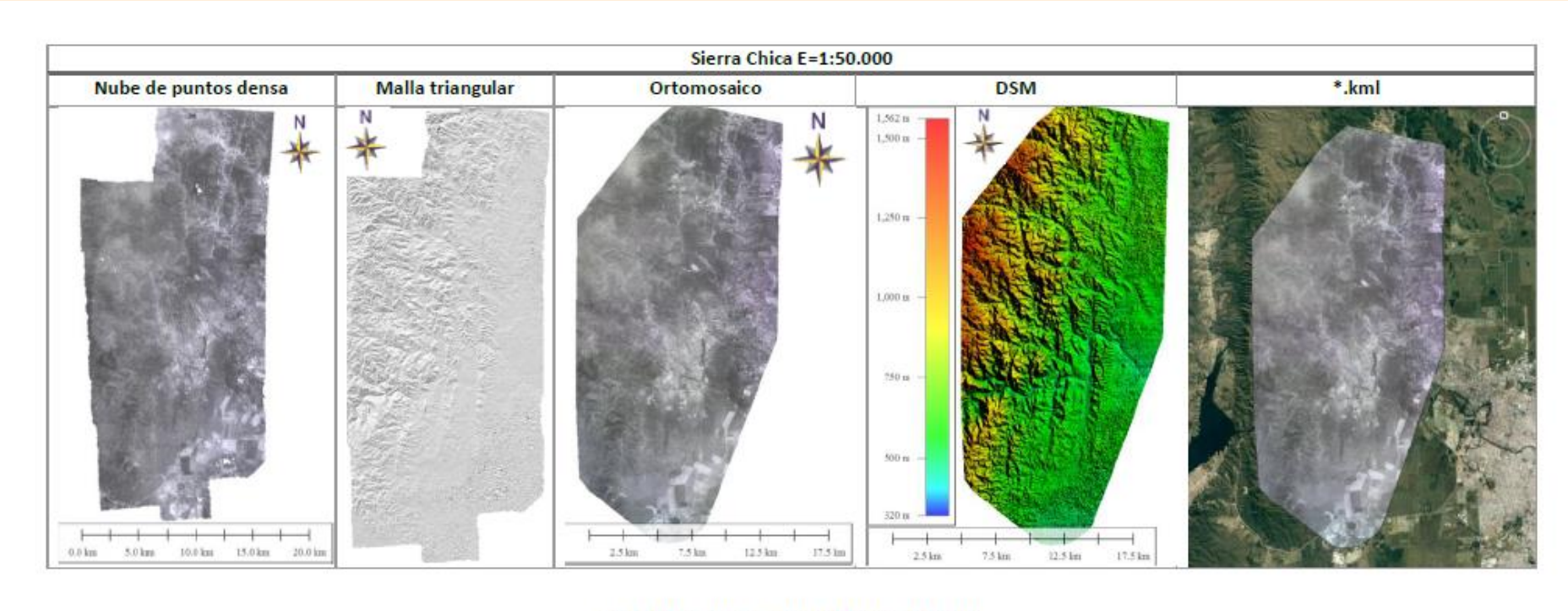


Tabla 11. Resultados Sierra Chica E=1:50.000.

Micaela Pleitavino

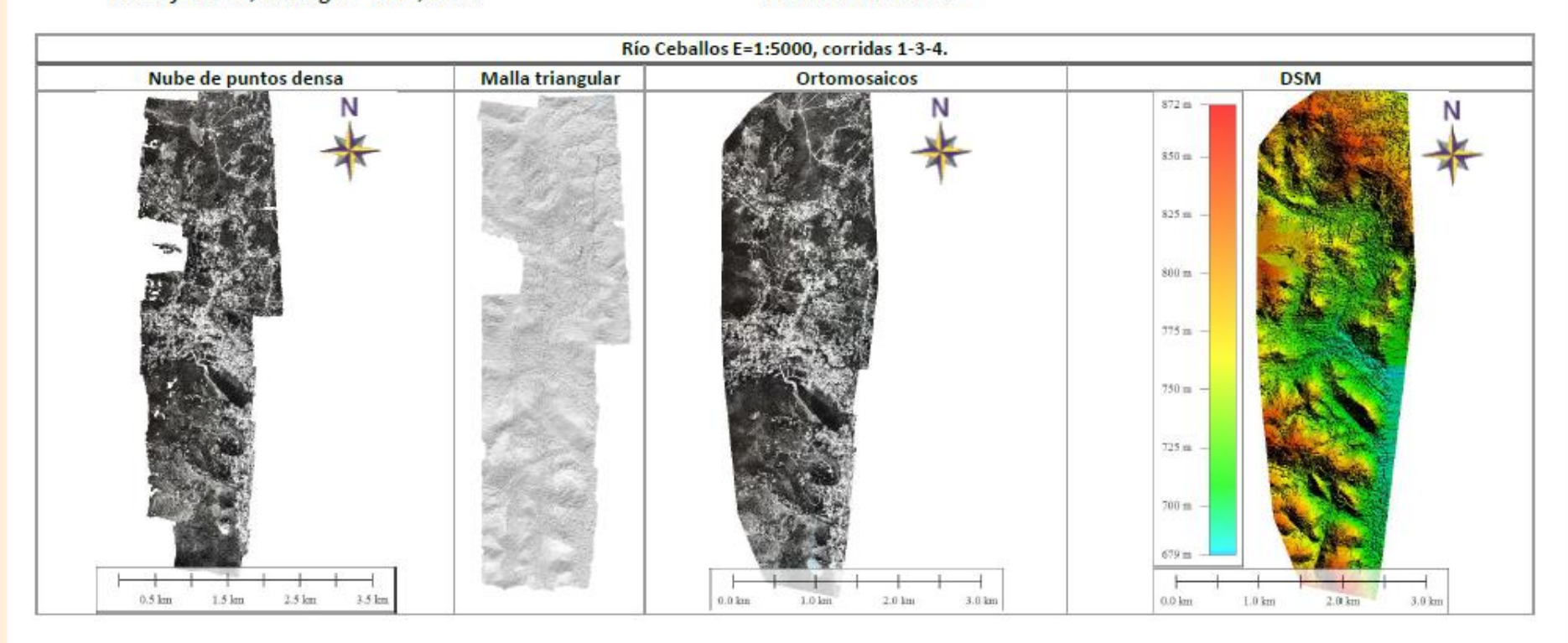
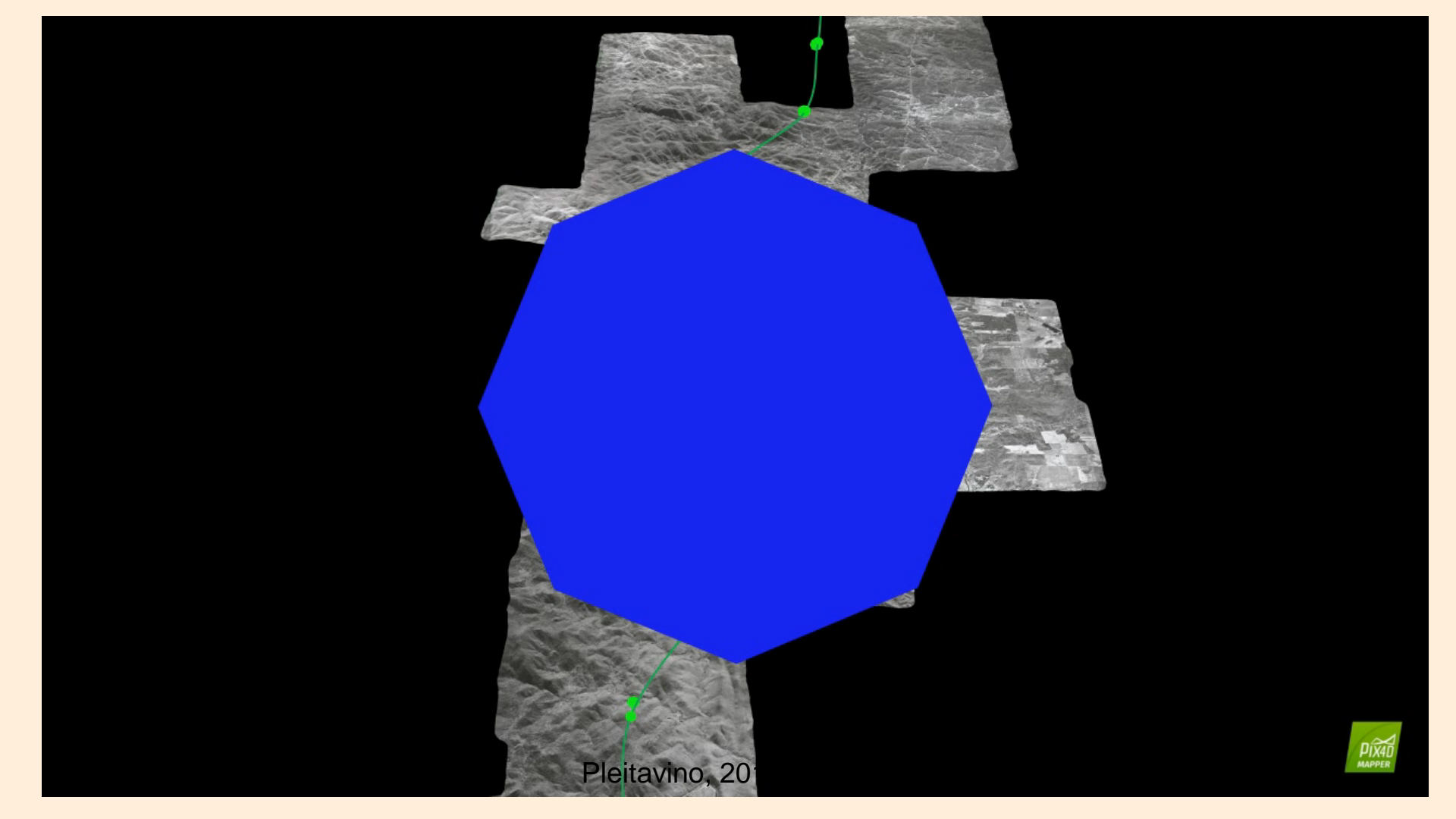
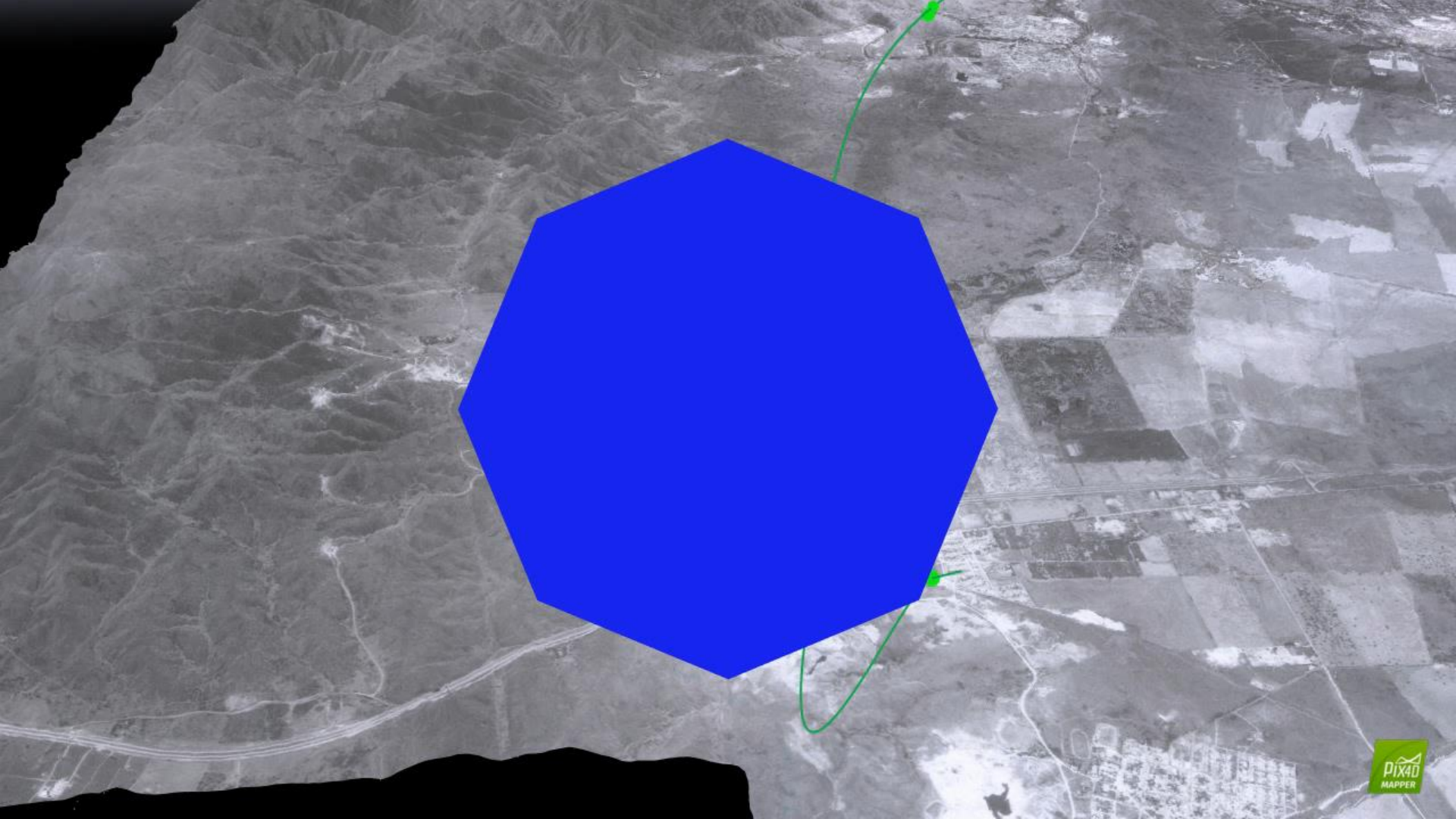


Tabla 13, Resultados Sierra Chica E=1:5.000. Corridas 1-3-4.





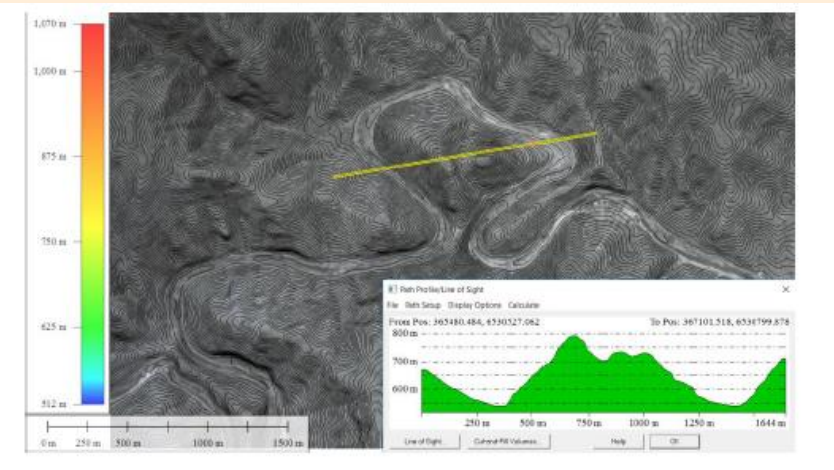


Figura 45. Detalle de *DSM*, ortomosaico y curvas de nivel, E=1:50.000, con traza de perfil cortando al Río Suquía en dos sectores, y perfil, utilizando Global Mapper.



Figura 46. Visualización en 3D de un tramo del Río, mediante Global Mapper.

Pleitavino, 2016

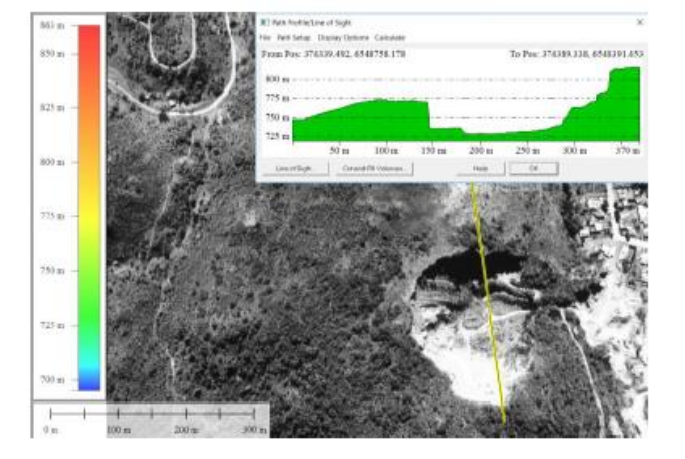


Figura 51. Detalle de DSM, ortomosaico y curvas de nivel, E=1:5.000, con traza de perfil cortando a una cantera, y su perfil, utilizando Global Mapper.

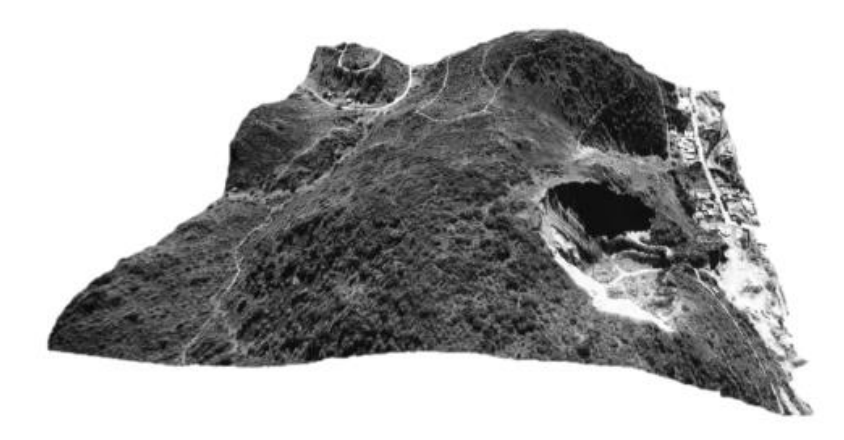
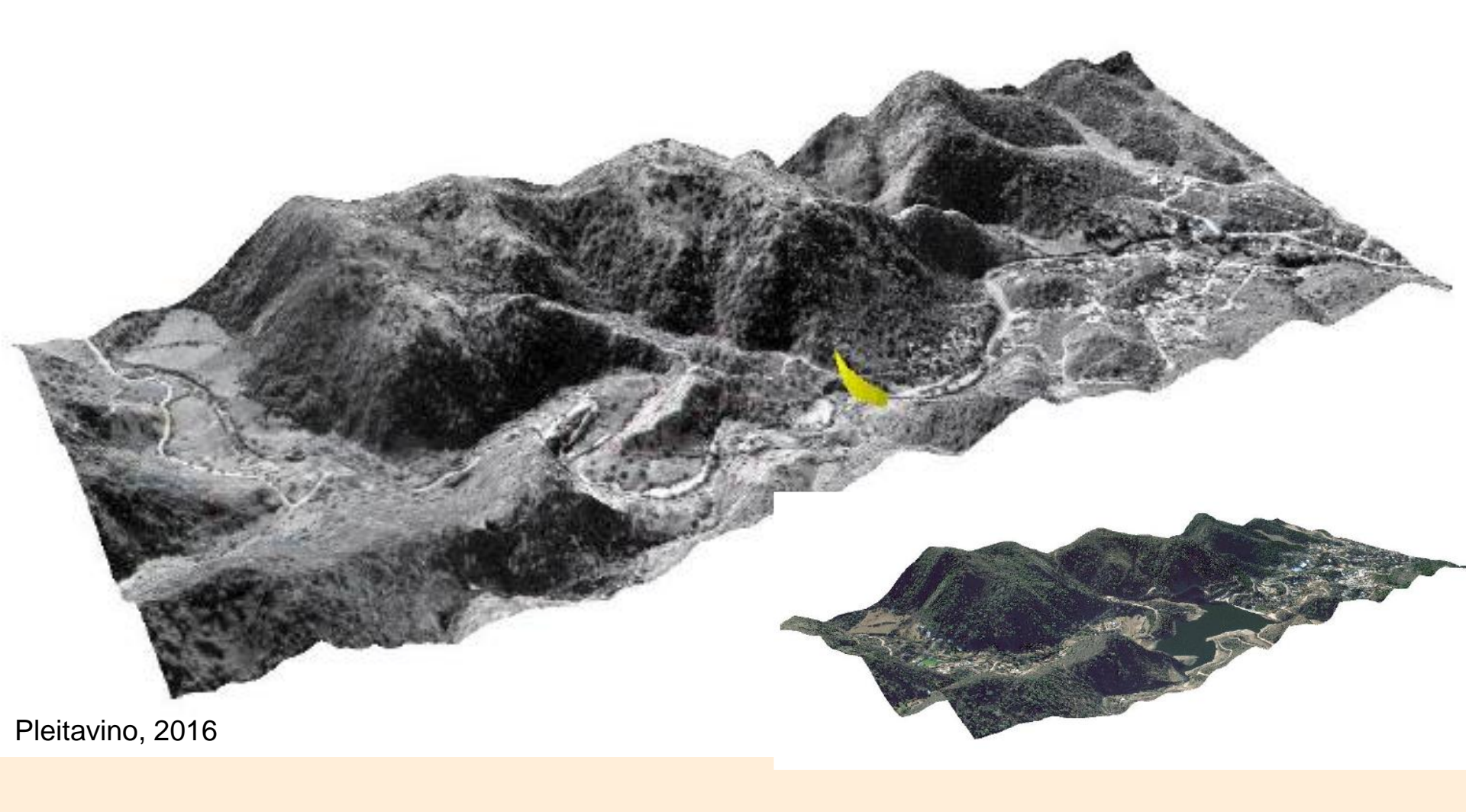
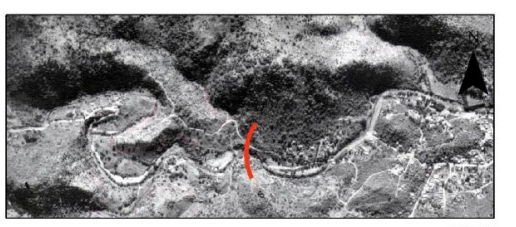


Figura 52. Visualización en 3D del sector de la cantera mediante Global Mapper.





1970



1996



00.10.2 0.4 0.6 0.8 km

Figura 64. Ortofotos restituidas 1970 (1:20.000), ortofotos 1996 (1:5.000) e Imagen Satelitaria 2013 (Bing, SAS Planet).

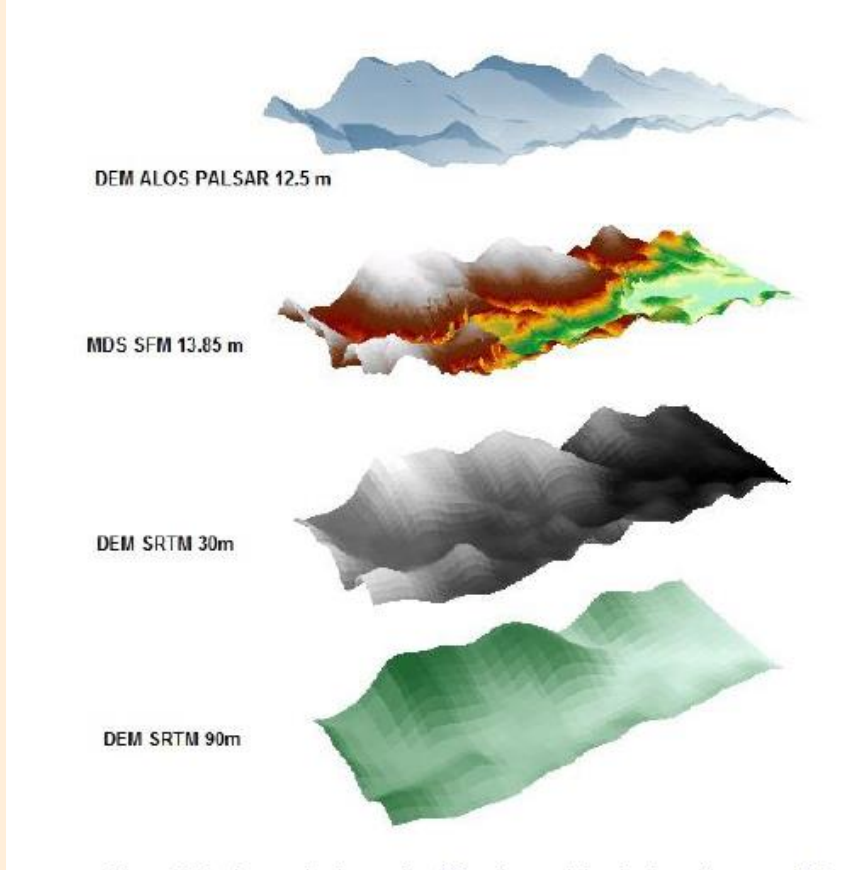


Figura 60. Imágenes de algunos los diferentes modelos de elevación y superficie.

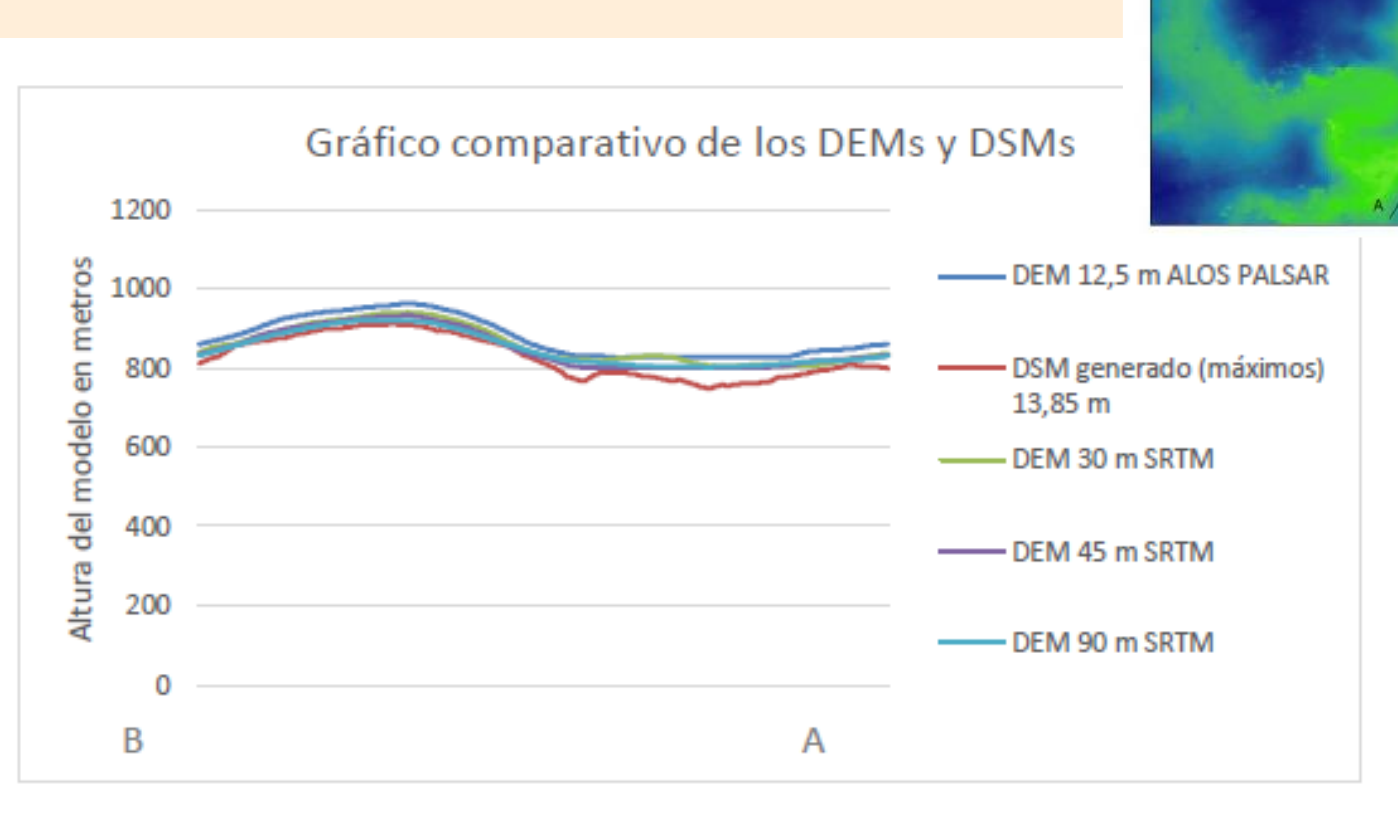


Figura 58. Gráfico comparando las diferentes alturas de los modelos que se detallan en la leyenda.



Pleitavino, 2016

Ongamira, Córdoba Vuelo DRON

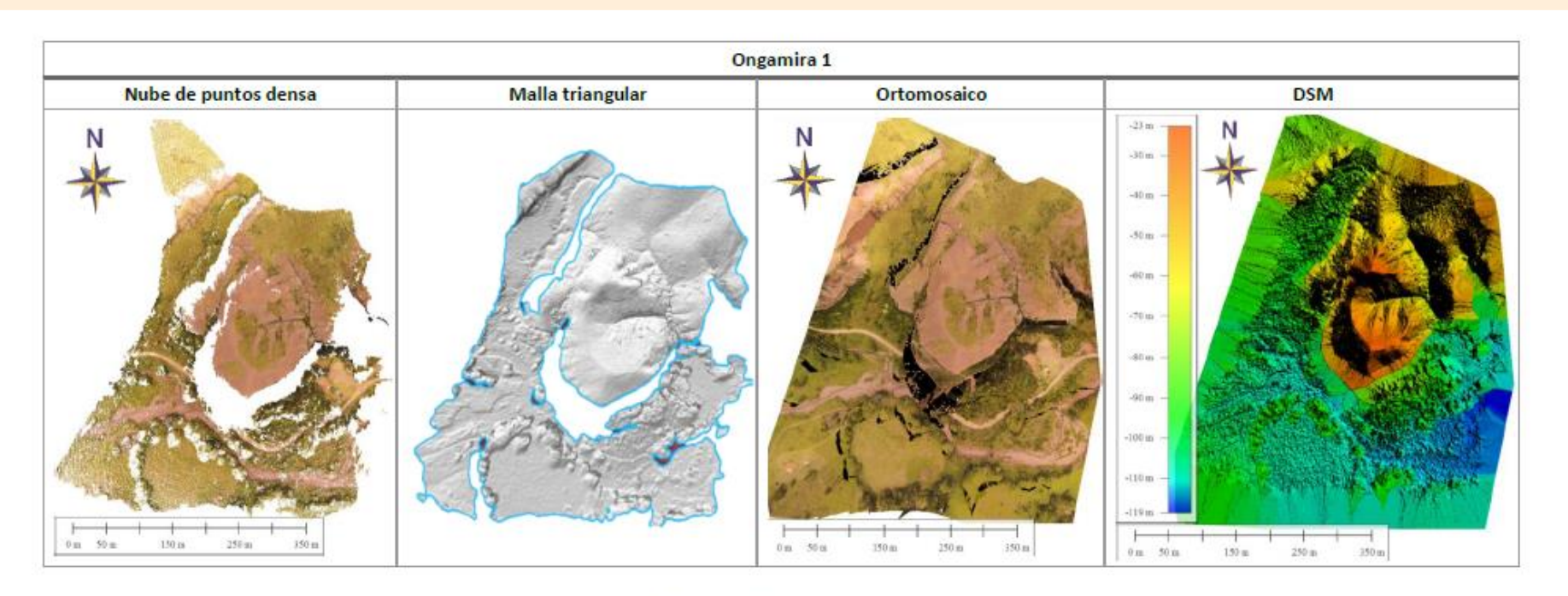
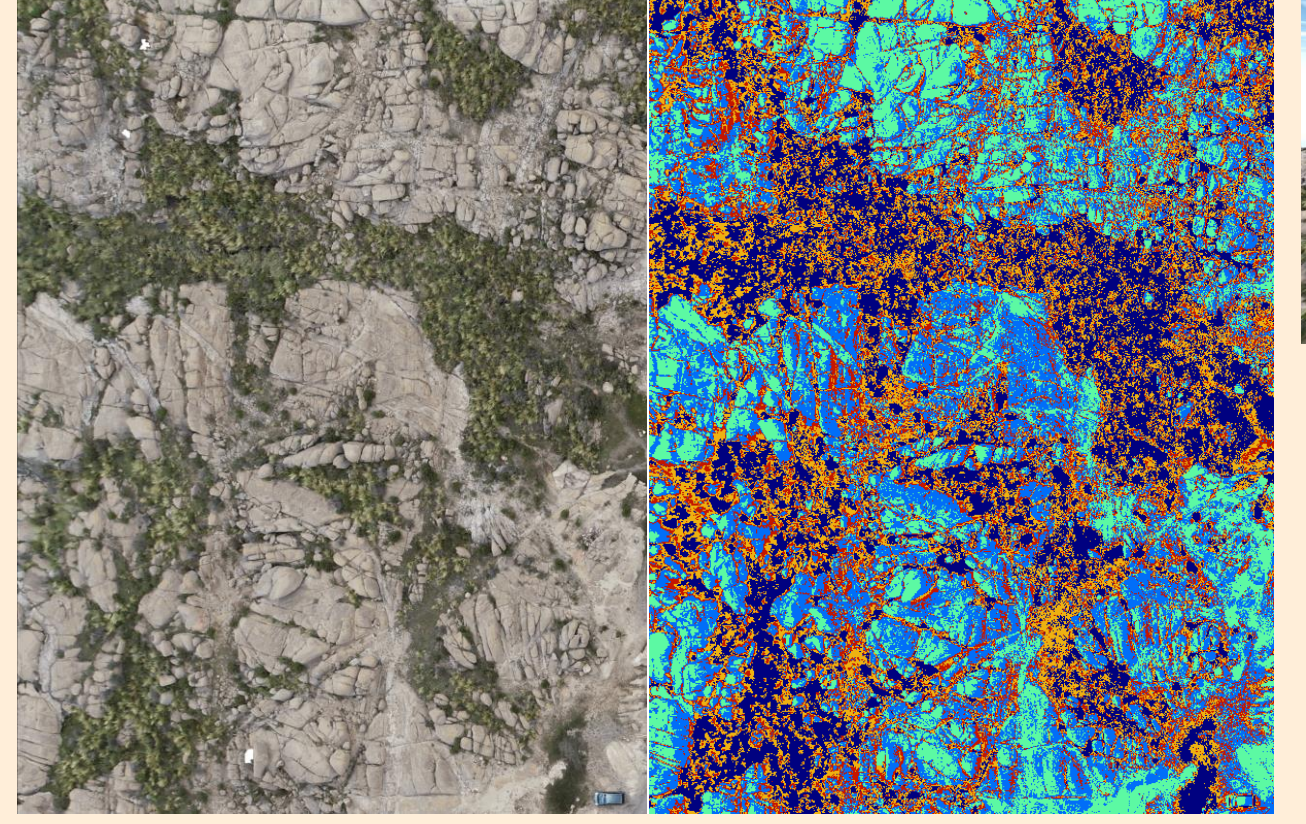


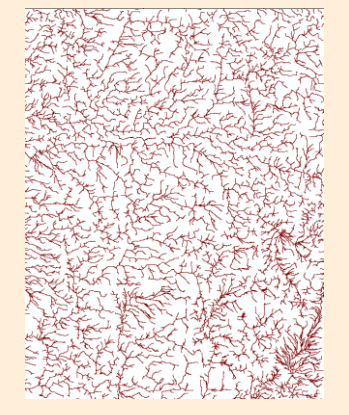
Tabla 16. Resultados Ongamira 1.

Vuelo Dron: Sierras Grandes, Córdoba



Determinación de afloramiento rocosos: cartografía automática





Aráoz, 2018 Pleitavino, 2016

